



บทที่ 4

ผลการวิจัย

4.1 ผลการสังเคราะห์สารประกอบ MIBG 0.5 H₂SO₄

การสังเคราะห์สารประกอบ MIBG 0.5 H₂SO₄ ตามวิธีทดลองในข้อ 3.1.1 จากปฏิกิริยาระหว่าง m-iodobenzylamine hydrochloride กับ cyanamide ผลที่ได้แสดงในตารางที่ 3 ซึ่งจะเห็นว่า % yield ที่ได้ค่อนข้างต่ำ คือ มี % yield โดยเฉลี่ย 42.6 % เมื่อเทียบกับผลการสังเคราะห์ในเอกสาร ตามวิธีของ Wieland(4) ซึ่งได้ %yield สูงถึง 78% จึงได้ทำการทดลองเปลี่ยนแปลงตัวแปรที่คาดว่าจะมีผลต่อ %yield ได้แก่ อัตราส่วนโมลของ m-iodobenzylamine hydrochloride ต่อ cyanamide จาก 1 : 1.5 เป็น 1 : 2 และ 1 : 3 และเปลี่ยนอุณหภูมิ จาก 100 °C เป็น 120, 140 และ 180 °C พบว่า % yield น้อยลงกว่าเดิมมาก และทำให้บริสุทธิ์ได้ยากเนื่องจากมีปริมาณ MIBG เกิดขึ้นเพียงเล็กน้อยเท่านั้น

ส่วนการสังเคราะห์สารประกอบ MIBG 0.5 H₂SO₄ ตามวิธีทดลองในข้อ 3.1.2 ซึ่งใช้ S-methylisothiourea แทน cyanamide พบว่าได้ %yield น้อยกว่า 1% และไม่สามารถแยกออกมาทำให้บริสุทธิ์ได้

ตารางที่ 3 ผลการสังเคราะห์สารประกอบ MIBG 0.5 H₂SO₄
 (อัตราส่วนโมลของ m-iodobenzylamine HCl ต่อ cyanamide 1 : 1.5
 อุณหภูมิ 100°C)

ครั้งที่	น้ำหนัก (กรัม)			จุดหลอมเหลว °C	%yield
	m-iodobenzylamine HCl	MIBG bicarbonate	MIBG sulfate		
1	1.078	1.095	0.468	162-164	44.5
2	1.613	1.557	0.737	162-164	49.1
3	1.078	0.902	0.323	163-165	37.4
4	0.539	0.470	0.179	163-164	39.5
mean ± s.d.					42.6 ± 4.5

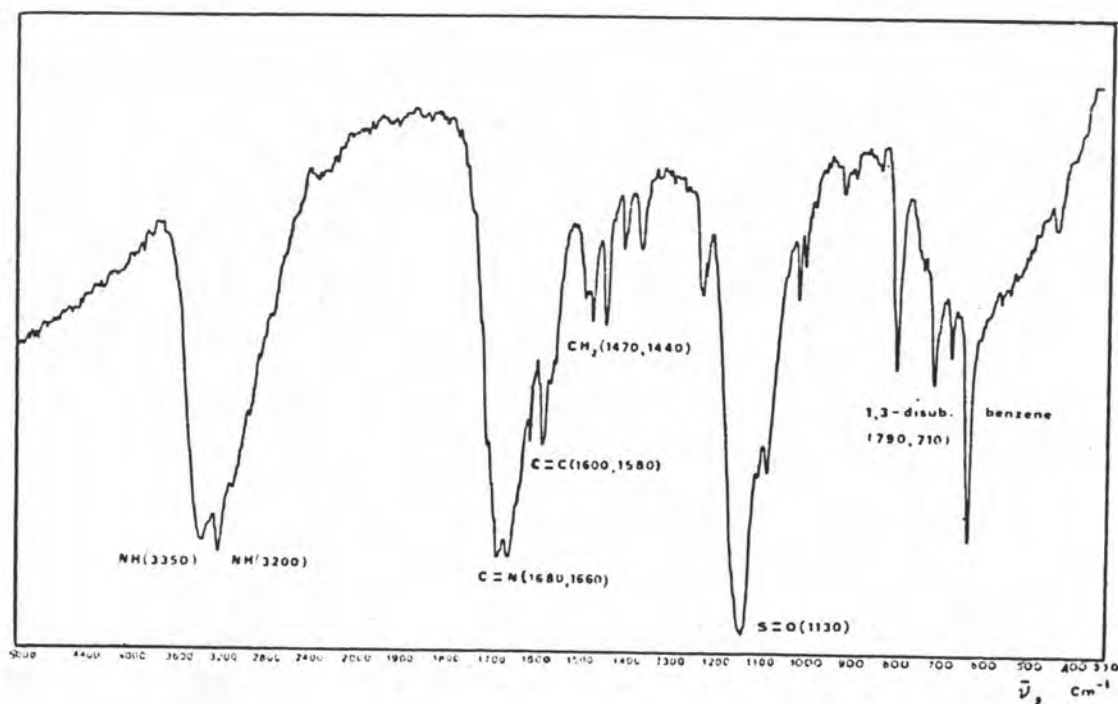
4.1.1 ผลการตรวจสอบความบริสุทธิ์ของสารประกอบ MIBG 0.5 H₂SO₄ ที่เตรียมได้
 เมื่อนำสารประกอบ MIBG 0.5 H₂SO₄ มาตกผลึกซ้ำด้วยน้ำกลั่น แล้วตรวจสอบ
 ความบริสุทธิ์ได้ผลดังนี้

จุดหลอมเหลวของสารประกอบ MIBG 0.5 H₂SO₄ 164-165°C
 (literature(4) 166-167°C)

ผลการตรวจสอบ IR สเปกตรัม แสดงในตารางที่ 4 และรูปที่ 13
 ผลการตรวจสอบ NMR สเปกตรัม แสดงในตารางที่ 5 และรูปที่ 14
 ผลการวิเคราะห์ธาตุ C, H, N แสดงในตารางที่ 6

ตารางที่ 4 ค่า wave number ($\bar{\nu}$) ของ MIBG 0.5 H₂SO₄ ที่ได้จาก IR สเปกตรัม

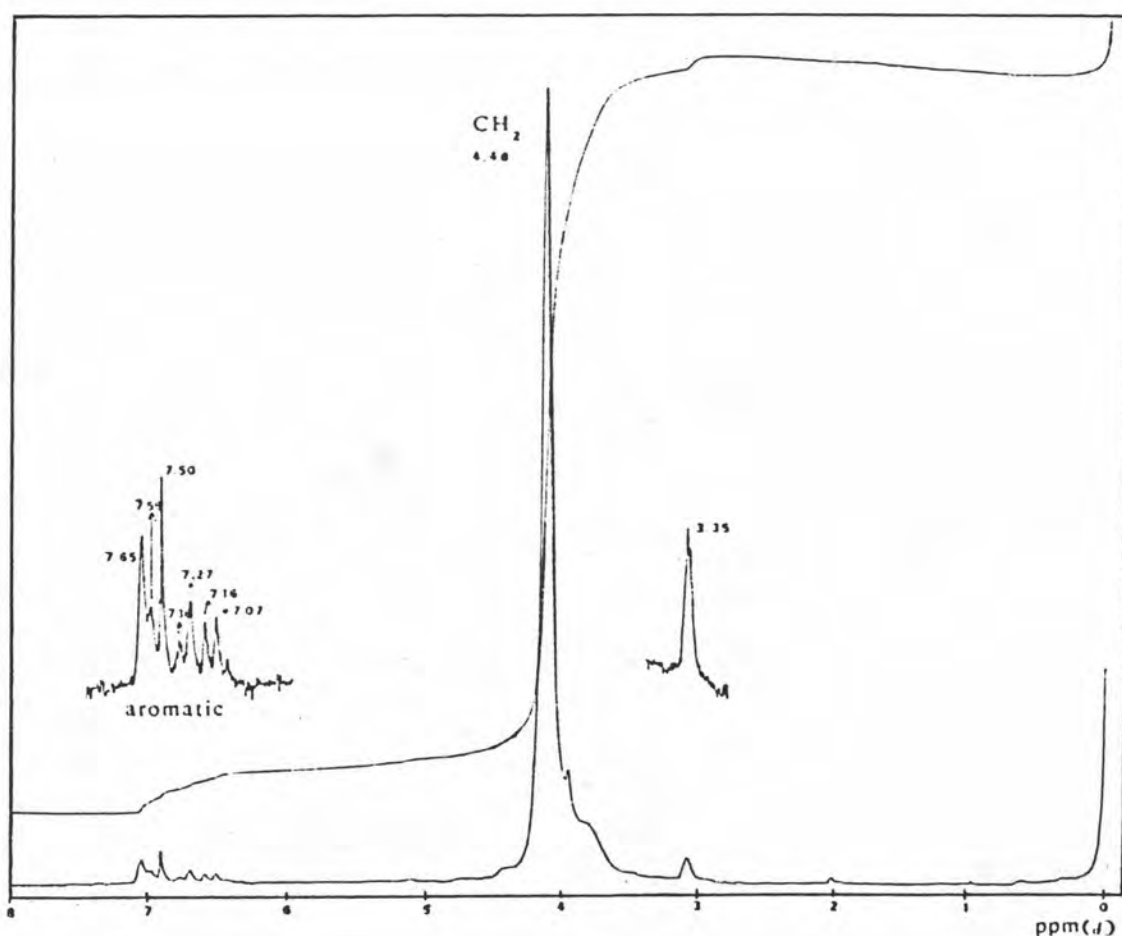
Absorption frequency ($\bar{\nu}$) KBr, (cm ⁻¹)	assignments(38)
3350, 3200	NH stretching
1680, 1660	C = N
1600, 1580	C = C
1470, 1440	CH ₂
1130	S = O
790, 710	1, 3-disubstituted benzene



รูปที่ 13 IR สเปกตรัมของสารประกอบ MIBG 0.5 H₂SO₄

ตารางที่ 5 ค่า Chemical shift (δ) ของ MIBG 0.5 H₂SO₄ ที่ได้จาก NMR สเปคตรัม

Chemical shift (δ), ppm (CD ₃ OD+CDCl ₃)	assignments(38)
4.48	singlet, 2H, CH ₂
7.07-7.65	multiplet (7 peaks), 4H, aromatic



รูปที่ 14 NMR สเปคตรัมของสารประกอบ MIBG 0.5 H₂SO₄

ตารางที่ 6 ผลการวิเคราะห์ธาตุ C, H, N

%	C	H	N
calculated*	29.64	3.42	12.96
found	29.44	3.45	12.98

* calculated for $C_8H_{10}IN_3 \cdot 0.5 H_2SO_4$

4.2 ผลการหาเปอร์เซ็นต์การติดฉลากของสารประกอบ I-131 MIBG ที่เตรียมโดยวิธีต่าง ๆ

จากการทดลองติดฉลากสารประกอบ MIBG $0.5 H_2SO_4$ ด้วย ^{131}I ตามวิธีการต่าง ๆ ในข้อ 3.2.1 ถึง 3.2.4 แล้วหาเปอร์เซ็นต์การติดฉลากของแต่ละวิธี ซึ่งผลที่ได้แสดงใน ตารางที่ 7 พบว่าวิธี $Cu(II)-NH_4H_2PO_4$ ให้เปอร์เซ็นต์การติดฉลากสูงสุด จึงเลือกวิธีนี้มาใช้ในการเตรียมสารประกอบติดฉลาก I-131 MIBG สำหรับการทดลองในขั้นต่อไป

ตารางที่ 7 เปอร์เซ็นต์การติดฉลากของสารประกอบ I-131 MIBG ที่ได้จากการทดลองโดยวิธีต่าง ๆ

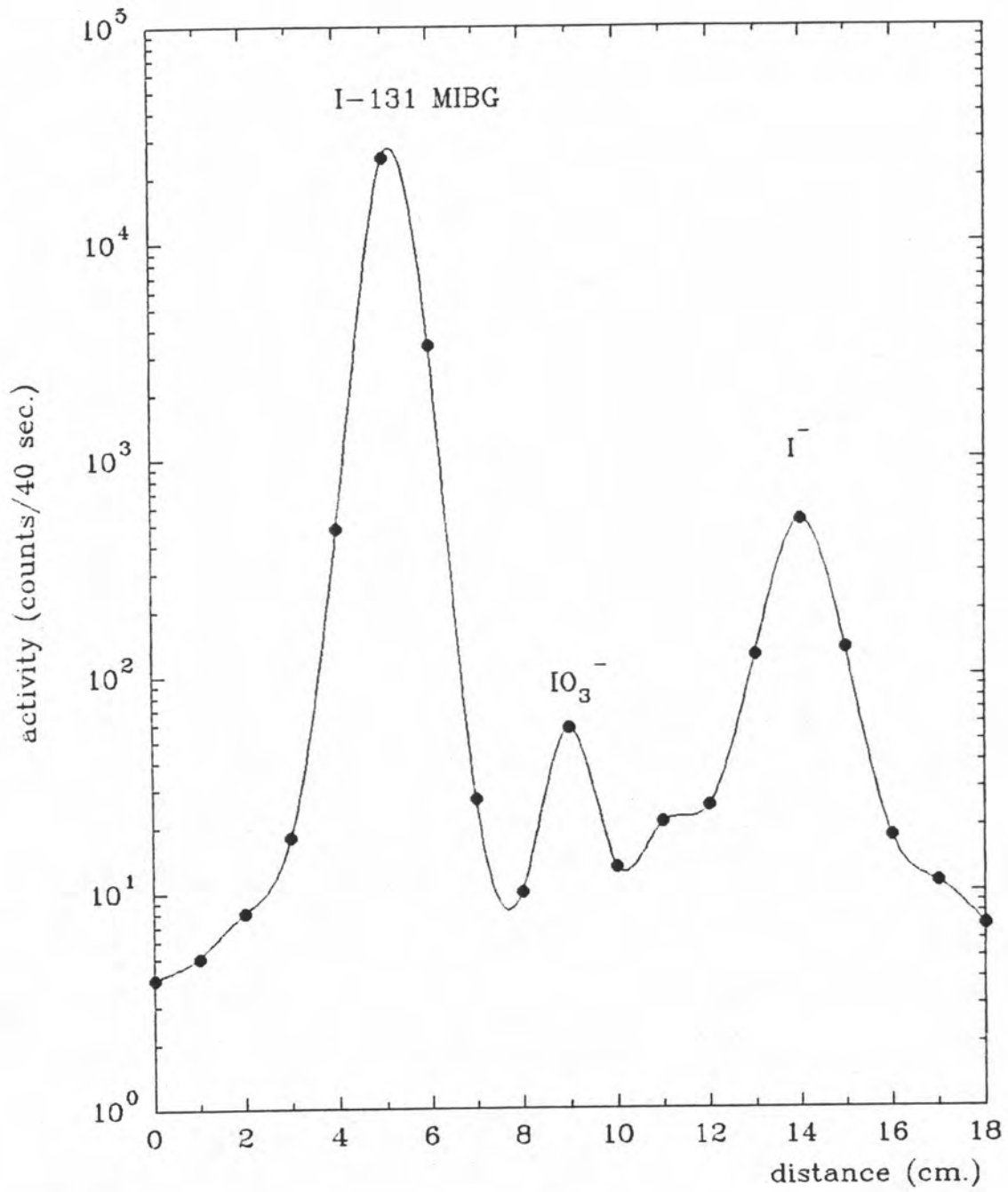
วิธี	เปอร์เซ็นต์การติดฉลาก (%)				
	1	2	3	4	mean \pm s.d.
Ascorbic acid-Cu(I)	53.9	60.2	60.0	56.4	57.6 \pm 2.6
$PdCl_2$ catalyst	80.4	84.2	73.4	78.6	79.1 \pm 3.9
Solid-phase exchange [$(NH_4)_2SO_4$]	27.7	32.8	26.4	23.5	27.6 \pm 3.4
$Cu(II)-NH_4H_2PO_4$	97.0	95.5	97.1	96.6	96.5 \pm 0.6

ตัวอย่างผลการแยกของ I-131 MIBG, IO_3^- และ I^- ในการหาเปอร์เซ็นต์การติดฉลากโดยวิธีเปเปอร์อิลเลคโตรโฟเรซิส แสดงในตารางที่ 8 และรูปที่ 15 ซึ่งเป็นตัวอย่างของการหาเปอร์เซ็นต์การติดฉลากของสารประกอบ I-131 MIBG ที่เตรียมโดยวิธี $Cu(II)-NH_4H_2PO_4$

ตารางที่ 8 ตัวอย่างผลการแยกของ I-131 MIBG, IO_3^- และ I^- โดยวิธีเปเปอร์อิเล็กโตรฟอเรซิส

ระยะทาง (cm)	activity-background (counts/40 sec)
0	4
1	5
2	8
3	18
4	477
5	24809
6	3356
7	27
8	10
9	57 ->ตำแหน่งของ IO_3^-
10	13
11	21
12	25
13	123
14	518
15	132
16	18
17	11
18	7
total	29639

$$\begin{aligned}
 \text{เปอร์เซ็นต์การติดฉลาก} &= \frac{\text{ผลรวมของอัตราการนับรังสีที่ตำแหน่งของ I-131 MIBG} \times 100 \%}{\text{ผลรวมของอัตราการนับรังสีทั้งหมด}} \\
 &= \frac{28642 \times 100}{29639} = 96.6 \%
 \end{aligned}$$



รูปที่ 15 ตัวอย่างผลการแยก I-131 MIBG, IO_3^- และ I^- โดยวิธี
เปเปอร์อิเล็กโตรฟอเรซิส

4.3 ผลการศึกษาปัจจัยที่มีผลต่อเปอร์เซ็นต์การติดผลโดยวิธี $\text{CuSO}_4\text{-NH}_4\text{H}_2\text{PO}_4$

4.3.1 ผลของโมล Cu(II) ต่อโมล MIBG 0.5 H_2SO_4

จากตารางที่ 9 และรูปที่ 16 เมื่อโมล Cu(II) ต่อโมล MIBG 0.5 H_2SO_4 เพิ่มขึ้นจะทำให้เปอร์เซ็นต์การติดผลเพิ่มขึ้น โดยเฉพาะในช่วงแรก คือ เมื่อโมล Cu(II) ต่อโมล MIBG 0.5 H_2SO_4 เพิ่มขึ้นจาก 0 ถึง 1×10^{-3} จะเห็นเปอร์เซ็นต์การติดผลเพิ่มขึ้นอย่างชัดเจน จาก 19.1 % ถึง 92.5 % หลังจากนั้นจะเพิ่มขึ้นเพียงเล็กน้อยจนเกือบจะคงที่ จากผลดังกล่าวสรุปได้ว่าโมล Cu(II) ต่อโมล MIBG 0.5 H_2SO_4 ที่เหมาะสมอยู่ในช่วง 5×10^{-3} ถึง 20×10^{-3}

4.3.2 ผลของเวลาของปฏิกิริยา

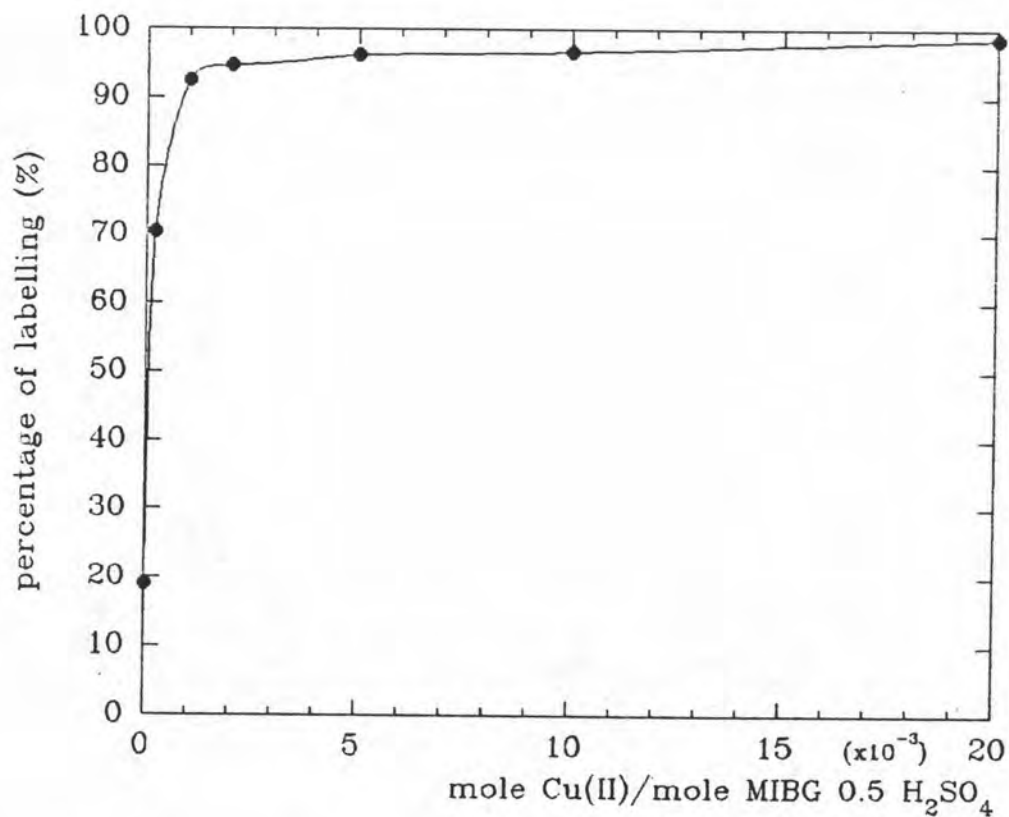
จากตารางที่ 10 และรูปที่ 17 เมื่อเวลาของปฏิกิริยาเพิ่มขึ้น จะทำให้เปอร์เซ็นต์การติดผลเพิ่มขึ้น โดยช่วงแรกจากเวลาเริ่มต้นรีฟลักซ์ คือ เวลา 0 นาที ไปจนถึง 90 นาที ของการรีฟลักซ์ เปอร์เซ็นต์การติดผลจะเพิ่มขึ้นชัดเจนจาก 58.0 % เป็น 94.4 % หลังจากนั้นจะค่อยๆ เพิ่มขึ้น จนถึงเวลา 120 นาที ซึ่งจะให้เปอร์เซ็นต์การติดผลสูงสุด และเกือบจะคงที่ที่เวลา 180 นาที จากผลดังกล่าวสรุปได้ว่า เวลาของปฏิกิริยาที่เหมาะสมอยู่ในช่วง 2 ถึง 3 ชั่วโมง

4.3.3 ผลของ pH ของปฏิกิริยา

จากตารางที่ 11 และรูปที่ 18 เมื่อ pH ของปฏิกิริยาลดลง จะทำให้เปอร์เซ็นต์การติดผลเพิ่มขึ้นและเริ่มคงที่ในช่วง pH 4-5 ซึ่งเป็นช่วงที่ให้เปอร์เซ็นต์การติดผลสูงสุด ดังนั้น pH ของปฏิกิริยาที่เหมาะสมจึงอยู่ในช่วง pH 4-5

ตารางที่ 9 ผลของโมล Cu(II) ต่อโมล MIBG 0.5 H₂SO₄ ที่มีต่อเปอร์เซ็นต์การติดฉลาก
(เวลาของปฏิกิริยา 120 นาที, pH 4)

โมล Cu(II) ต่อโมล MIBG 0.5 H ₂ SO ₄ (x10 ⁻³)	เปอร์เซ็นต์การติดฉลาก (%)			
	1	2	3	mean ± s.d.
0	19.1	18.9	19.2	19.1 ± 0.1
0.2	70.5	70.6	70.1	70.4 ± 0.2
1	93.7	91.3	92.4	92.5 ± 1.0
2	94.9	93.5	95.7	94.7 ± 0.9
5	96.6	96.5	95.5	96.2 ± 0.5
10	96.6	97.1	96.9	96.7 ± 0.2
20	98.3	98.5	98.9	98.6 ± 0.2

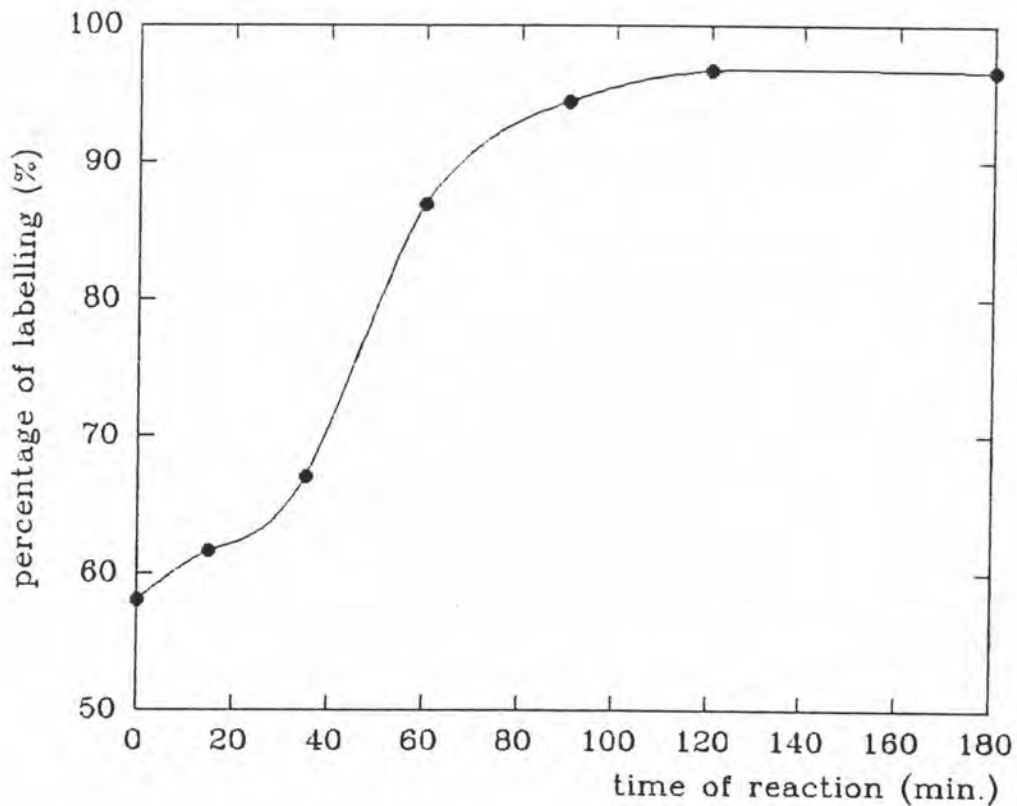


รูปที่ 16 ผลของโมล Cu(II) ต่อโมล MIBG 0.5 H₂SO₄ ที่มีต่อเปอร์เซ็นต์การติดฉลาก
(เวลาของปฏิกิริยา 120 นาที, pH 4)

ตารางที่ 10 ผลของเวลาของปฏิกิริยาที่มีต่อเปอร์เซ็นต์การติดฉลาก

(โมล Cu(II) ต่อโมล MIBG 0.5 $H_2SO_4 = 5 \times 10^{-3}$, pH 4)

เวลาของปฏิกิริยา (นาที)	เปอร์เซ็นต์การติดฉลาก (%)			
	1	2	3	mean \pm s.d.
0	56.7	57.4	59.8	58.0 \pm 1.3
15	60.5	61.7	62.5	61.6 \pm 0.8
35	66.4	67.6	67.0	67.0 \pm 0.5
60	85.7	88.6	86.4	86.9 \pm 1.2
90	93.2	95.4	94.7	94.4 \pm 0.9
120	96.6	96.5	97.1	96.7 \pm 0.3
180	96.7	97.2	95.9	96.6 \pm 0.5



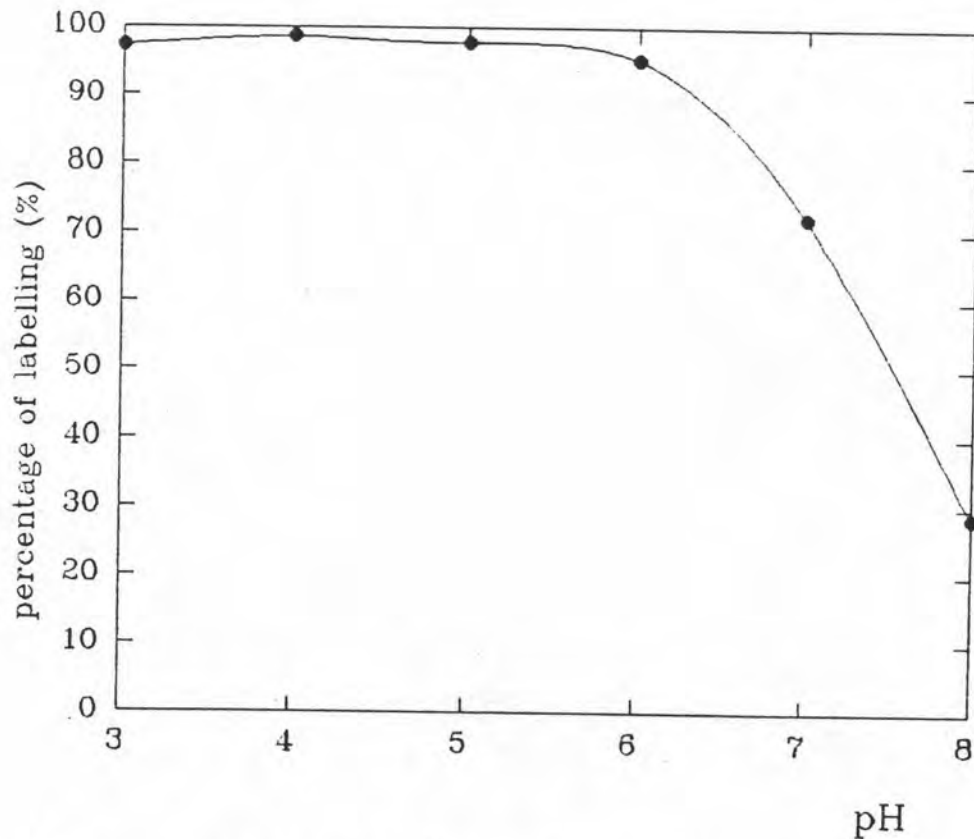
รูปที่ 17 ผลของเวลาของปฏิกิริยาที่มีต่อเปอร์เซ็นต์การติดฉลาก

(โมล Cu(II) ต่อโมล MIBG 0.5 $H_2SO_4 = 5 \times 10^{-3}$, pH 4)

ตารางที่ 11 ผลของ pH ของปฏิกิริยาที่มีต่อเปอร์เซ็นต์การติดฉลาก

(โมล Cu(II) ต่อโมล MIBG $0.5 \text{ H}_2\text{SO}_4 = 20 \times 10^{-3}$, เวลาของปฏิกิริยา 120 นาที)

pH	เปอร์เซ็นต์การติดฉลาก (%)			
	1	2	3	mean \pm s.d.
8	25.3	31.7	28.6	28.5 \pm 2.6
7	74.5	70.5	71.4	72.1 \pm 1.7
6	94.8	95.8	95.1	95.2 \pm 0.4
5	97.5	98.2	97.6	97.8 \pm 0.3
4	98.0	99.1	98.6	98.6 \pm 0.4
3	98.2	97.2	96.3	97.2 \pm 0.8



รูปที่ 18 ผลของ pH ของปฏิกิริยาที่มีต่อเปอร์เซ็นต์การติดฉลาก

(โมล Cu(II) ต่อโมล MIBG $0.5 \text{ H}_2\text{SO}_4 = 20 \times 10^{-3}$, เวลาของปฏิกิริยา 120 นาที)

4.4 ผลการควบคุมคุณภาพของสารเภสัชรังสี I-131 MIBG

จากการเตรียมสารประกอบติดฉลาด I-131 MIBG ให้อยู่ในรูปของชาลด์ ตามวิธีการในข้อ 3.4 แล้วควบคุมคุณภาพของสารเภสัชรังสี I-131 MIBG ทั้งทางเคมีและชีววิทยา ตามวิธีการในข้อ 3.5 สามารถสรุปคุณลักษณะ (characteristic) ของสารเภสัชรังสี I-131 MIBG ที่เตรียมขึ้นได้ ดังนี้

สภาพทางเคมี (chemical form) : สารละลาย isotonic phosphate buffer
pH 5-7 ปราศจากเชื้อและไพโรเจน

กัมมันตภาพจำเพาะ (Specific activity) : 1.5-2.0 mCi/mg

ความเข้มข้นของกัมมันตรังสี (Radioactive concentration) : 0.5 mCi/ml

ความบริสุทธิ์ทางเรดิโอไนิวไคลด์ (Radionuclidic purity) : > 99 % ^{131}I

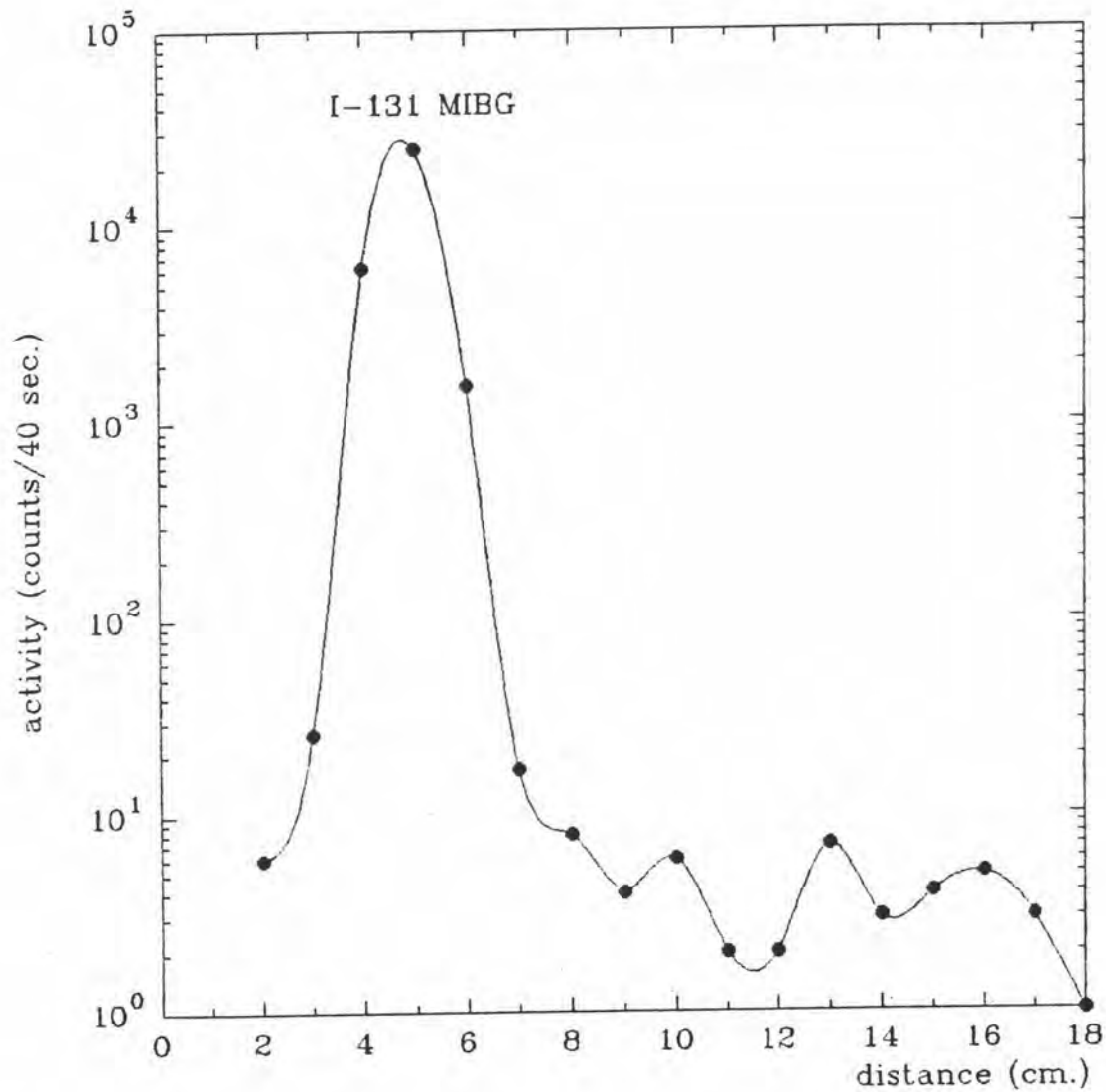
ความบริสุทธิ์ทางเคมีรังสี (Radiochemical purity) : > 99 % I-131 MIBG

ตารางที่ 12 ผลการหาเปอร์เซ็นต์ความบริสุทธิ์ทางเคมีรังสีโดยวิธีเปเปอร์อิเล็กโตรโฟเรซิส

ระยะทาง	activity-background (counts/40 sec.)
0	-
1	-
2	6
3	26
4	6165
5	25054
6	1546
7	17
8	8
9	4
10	6
11	2
12	2
13	7
14	3
15	4
16	5
17	3
18	1
total	32859

ตำแหน่งของ I-131 MIBG
= 32765

$$\begin{aligned}
 \text{เปอร์เซ็นต์ความบริสุทธิ์ทางเคมีรังสี} &= \frac{\text{ผลรวมของอัตรานับรังสีที่ตำแหน่งของ I-131 MIBG} \times 100\%}{\text{ผลรวมของอัตรานับรังสีทั้งหมด}} \\
 &= \frac{32765 \times 100}{32859} = 99.7\%
 \end{aligned}$$



รูปที่ 19 ผลการหาความบริสุทธิ์ทางเคมีรังสีโดยวิธีเปเปอร์อิเล็กโตรโฟเรซิส

4.5 ผลการศึกษาการกระจายตัวของสารเภสัชรังสีไปสู่อวัยวะเป้าหมาย

ผลการศึกษาการกระจายตัว I-131 MIBG ไปยังอวัยวะต่าง ๆ ในหนู ในรูปของ $\% \text{uptake/g}$ ซึ่งแสดงในตารางที่ 13 และรูปที่ 20 พบว่าบริเวณต่อมหมวกไตมีการสะสมของ I-131 MIBG สูงสุดรองจากต่อมไทรอยด์ ทั้งนี้เนื่องจากการฉีดไม่ได้ทำการ block การสะสมไฮโดรคีนของต่อมไทรอยด์ซึ่งเป็น critical organ

ตารางที่ 13 ผลการกระจายตัวของ I-131 MIBG ในหนู ภายหลังจากฉีด 1 วัน

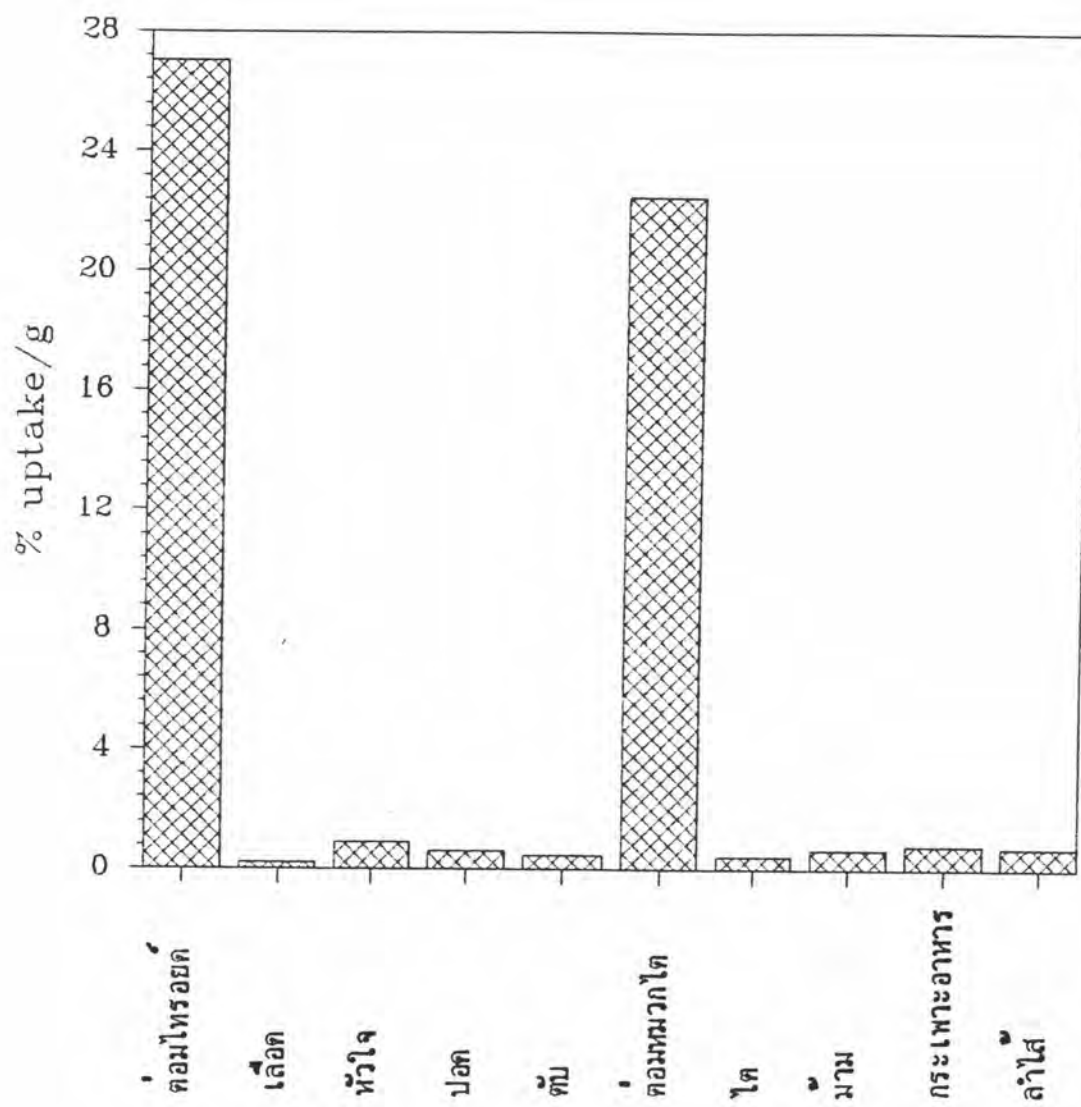
เงื่อนไข ความเข้มข้นของ I-131 MIBG : 0.1 mCi/ml

Specific activity : 2.1 mCi/mg

injected dose : 10 μ Ci

species of mice : Swiss Albino, female

	1			2			3			
น้ำหนักหนู (กรัม)	23			24			23			%uptake/g
Injected dose (c/40s)	202,831			179,174			157,058			
อวัยวะ	น้ำหนัก activity %uptake			น้ำหนัก activity %uptake			น้ำหนัก activity %uptake			[mean \pm s.d.]
	(g)	(c/40s)	g	(g)	(c/40s)	g	(g)	(c/40s)	g	
ต่อมไทรอยด์	0.0096	557	28.60	0.0112	553	27.56	0.0157	614	24.90	27.02 \pm 1.56
เลือด	0.0728	52	0.35	0.4069	87	0.12	0.5449	128	0.15	0.21 \pm 0.10
หัวใจ	0.1132	229	0.99	0.1153	175	0.85	0.1243	181	0.93	0.92 \pm 0.06
ปอด	0.2678	307	0.57	0.1982	234	0.66	0.2505	244	0.62	0.62 \pm 0.04
ตับ	1.2659	1234	0.48	1.2301	954	0.43	1.3015	1014	0.49	0.47 \pm 0.03
ต่อมหมวกไต	0.0059	283	23.65	0.0052	218	23.40	0.0060	192	20.37	22.47 \pm 1.49
ไต	0.3024	272	0.44	0.3419	277	0.45	0.3061	218	0.45	0.45 \pm 0.005
ม้าม	0.1221	124	0.50	0.0993	154	0.86	0.1421	135	0.60	0.65 \pm 0.15
กระเพาะอาหาร	0.5433	798	0.72	0.5795	478	0.46	0.4866	762	0.99	0.79 \pm 0.14
ลำไส้	2.5812	3512	0.67	2.4836	2671	0.60	2.2878	3469	0.96	0.74 \pm 0.16



รูปที่ 20 ผลการกระจายตัวของ I-131 MIBG ในหนูภายหลังการฉีด 1 วัน

4.6 ผลการศึกษาการกระจายตัวของสารเภสัชรังสีที่ระยะเวลาต่าง ๆ ภายหลังจากฉีด

ผลการศึกษาการกระจายตัวของสารเภสัชรังสีไปยังอวัยวะต่าง ๆ ในหนู ในรูป %recovered activity/g ที่เวลาต่าง ๆ ภายหลังจากฉีด แสดงในตารางที่ 14 และรูปที่ 21 พบว่าบริเวณต่อมหมวกไต และต่อมไทรอยด์มี %recovered activity/g เพิ่มขึ้นมากตามลำดับเวลา 0.125 (3 ช.ม.), 1, 2 และ 3 วัน ภายหลังจากฉีด ในขณะที่อวัยวะอื่นส่วนใหญ่มีค่าเพิ่มขึ้นเพียงเล็กน้อยเท่านั้น

เนื่องจากค่า %recovered activity/g เป็นค่าเปรียบเทียบระหว่างปริมาณรังสีที่พบในอวัยวะใด ๆ กับปริมาณรังสีทั้งหมดที่มีอยู่ในร่างกายขณะนั้น ดังนั้นผลที่ได้จึงแสดงให้เห็นว่า I-131 MIBG ที่ฉีดเข้าไปมีการสะสมในต่อมหมวกไตได้ดีและยาวนานกว่าการสะสมที่อวัยวะอื่น และจากการที่ค่า %recovered activity/g ที่บริเวณต่อมหมวกไต มีค่าเพิ่มขึ้นอย่างมากตามลำดับเวลา ภายหลังจากฉีดจาก 1.3 ที่เวลา 3 ชั่วโมง เป็น 279.1 ที่เวลา 1 วัน และ 1170.3 ที่เวลา 3 วัน ทั้งนี้เนื่องจากอัตราการลดลงของปริมาณรังสีที่ต่อมหมวกไตน้อยกว่าอัตราการลดลงของปริมาณรังสีทั่วร่างกายมาก แสดงว่า I-131 MIBG ที่สะสมอยู่ที่ทั่วร่างกายภายหลังจากฉีดเข้าไปถูกขับถ่ายออกได้ดี

เมื่อเปรียบเทียบการสะสมของสารเภสัชรังสีบริเวณต่อมหมวกไตกับการสะสมของสารเภสัชรังสีทั้งหมดในร่างกายที่เวลาต่าง ๆ กันภายหลังจากฉีด โดยแสดงในรูปของ %dose ซึ่งเป็นค่าเปรียบเทียบระหว่างปริมาณรังสีที่สะสมในอวัยวะนั้น กับปริมาณรังสีที่ฉีดเข้าไปในร่างกายทั้งหมด จากตารางที่ 15 และรูปที่ 22 พบว่าทั่วร่างกายมีค่า %dose ลดลงตามเวลาภายหลังจากฉีด ส่วนต่อมหมวกไตมีค่า %dose เพิ่มขึ้นจาก 3 ชั่วโมง ถึง 1 วัน แล้วหลังจากนั้นจะลดลง ซึ่งผลดังกล่าวแสดงให้เห็นว่า บริเวณต่อมหมวกไตมีการสะสมของสารเภสัชรังสี I-131 MIBG สูงสุดที่เวลา 1 วัน ภายหลังจากฉีด ในขณะที่ปริมาณรังสีของ I-131 MIBG ทั่วร่างกายจะลดลงอย่างรวดเร็วตามลำดับ เนื่องจากถูกขับถ่ายออก

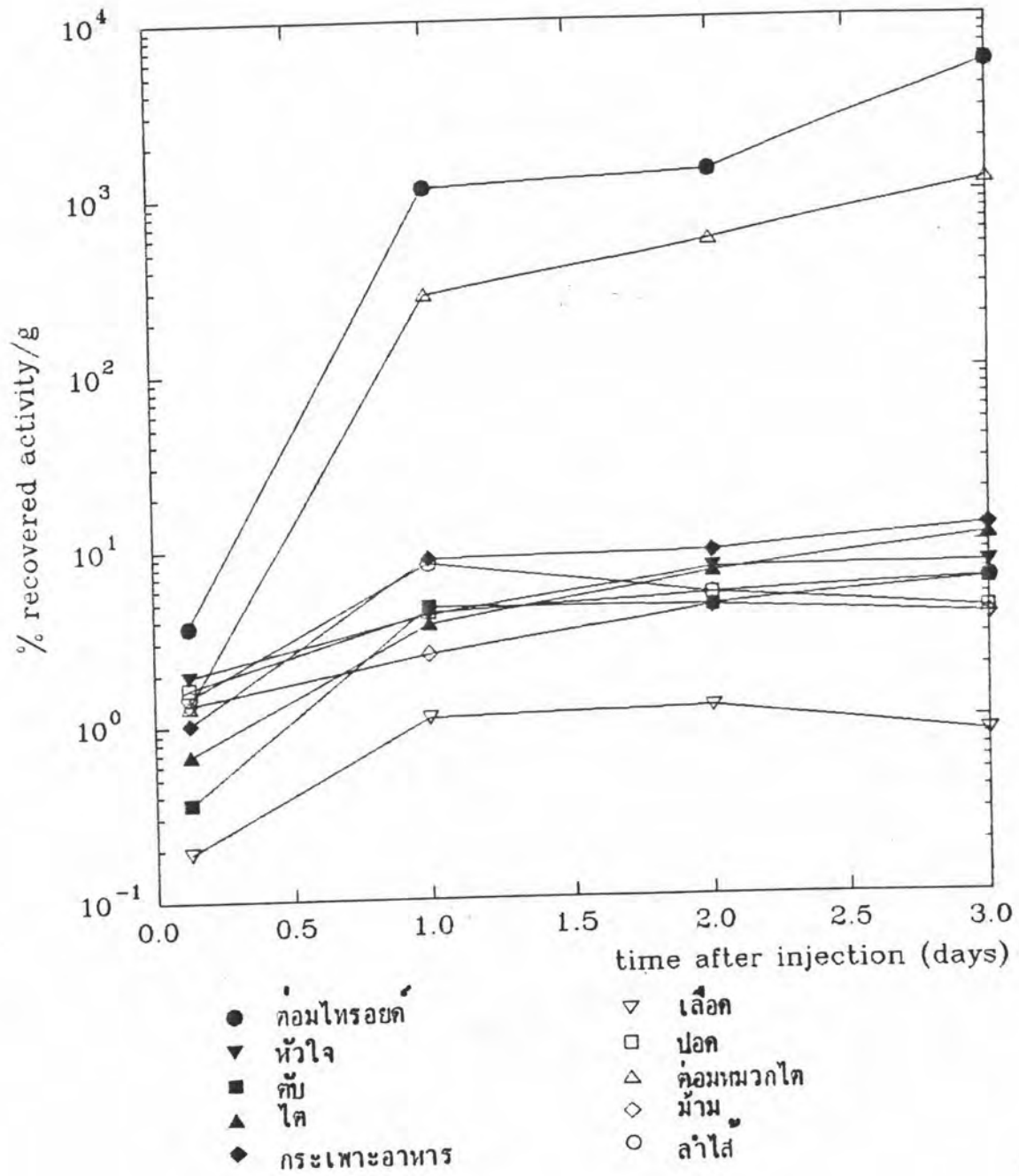
ตารางที่ 14 ผลการกระจายตัวของ I-131 MIBG ในหนูภายหลังการฉีดที่ระยะเวลาต่าง ๆ
เงื่อนไข ความเข้มข้นของ I-131 MIBG : 0.5 mCi/ml

Specific activity : 1.8 mCi/mg

Injected dose : 70 μ Ci

Species of mice : Swiss Albino, female น้ำหนัก 25-30 กรัม

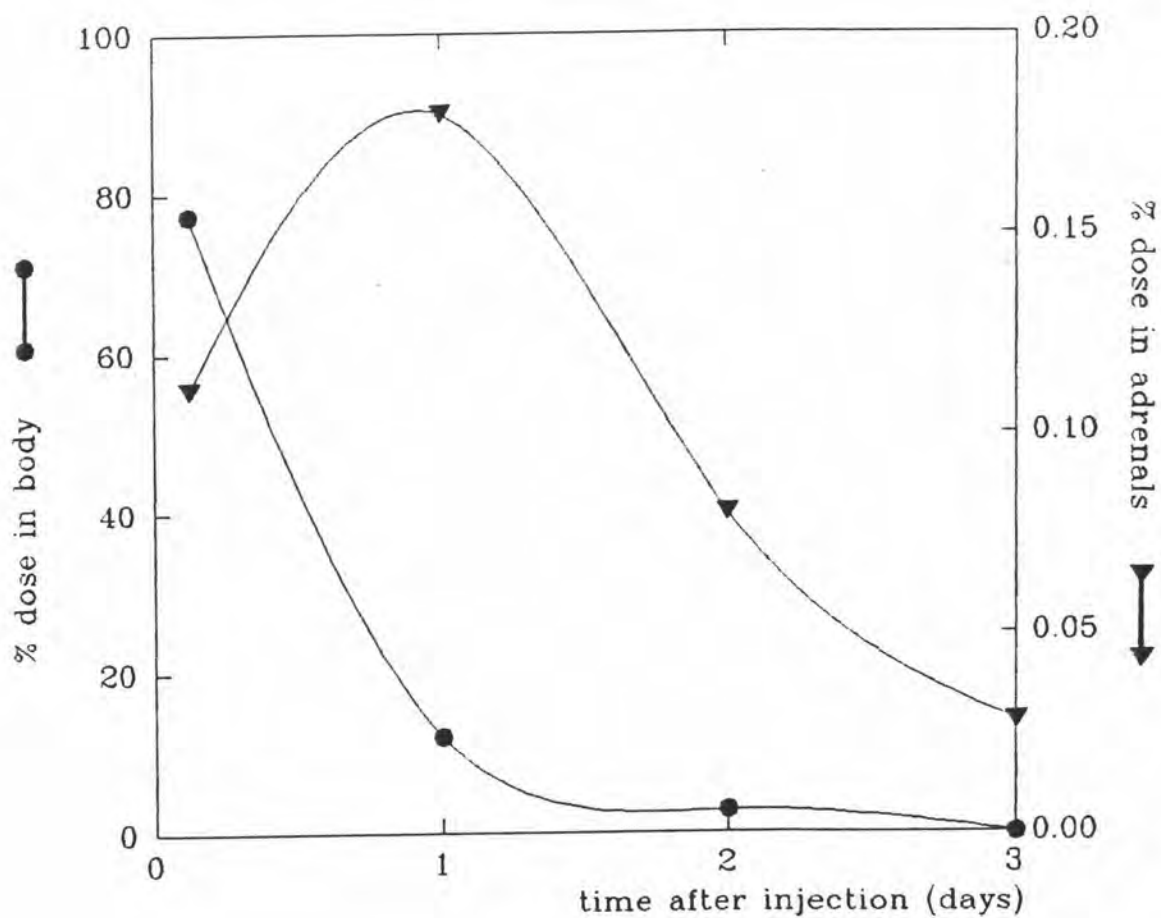
อวัยวะ	% Recovered activity/g [mean \pm s.d., n=3]			
	3 ช.ม.	1 วัน	2 วัน	3 วัน
ต่อมไทรอยด์	3.68 \pm 0.35	1118.87 \pm 105.69	1365.15 \pm 26.15	5447.92 \pm 89.48
เลือด	0.19 \pm 0.005	1.08 \pm 0.15	1.19 \pm 0.025	0.82 \pm 0.12
หัวใจ	1.93 \pm 0.05	4.18 \pm 0.51	7.32 \pm 0.09	7.56 \pm 1.71
ปอด	1.65 \pm 0.13	4.29 \pm 0.40	5.24 \pm 0.84	4.17 \pm 0.10
ตับ	0.36 \pm 0.009	4.61 \pm 0.47	4.47 \pm 0.33	6.10 \pm 0.43
ต่อมหมวกไต	1.31 \pm 0.22	279.08 \pm 37.28	546.52 \pm 45.97	1170.30 \pm 61.80
ไต	0.68 \pm 0.04	3.68 \pm 0.48	6.96 \pm 0.93	11.01 \pm 0.42
ม้าม	1.33 \pm 0.15	2.50 \pm 0.64	4.41 \pm 1.10	3.84 \pm 0.46
กระเพาะอาหาร	1.03 \pm 0.13	8.69 \pm 0.92	9.10 \pm 1.39	12.46 \pm 0.75
ลำไส้	1.48 \pm 0.14	8.21 \pm 0.34	5.19 \pm 0.76	6.18 \pm 0.84



รูปที่ 21 ผลการกระจายตัวของ I-131 MIBG ในหนูภายหลังการฉีด ที่ระยะเวลาดังกล่าว

ตารางที่ 15 ผลเปรียบเทียบระหว่างการสะสมของ I-131 MIBG ที่ทั่วร่างกายกับการสะสมที่ต่อมหมวกไต

	% dose [mean \pm s.d.), n=3]			
	3 ช.ม.	1 วัน	2 วัน	3 วัน
ทั่วร่างกาย	77.27 \pm 3.69	12.11 \pm 2.60	2.73 \pm 0.062	0.043 \pm 0.049
ต่อมหมวกไต	0.110 \pm 0.013	0.180 \pm 0.053	0.080 \pm 0.024	0.028 \pm 0.005



รูปที่ 22 ผลเปรียบเทียบการสะสมของ I-131 MIBG ระหว่างการสะสมทั่วร่างกายกับที่ต่อมหมวกไตภายหลังการฉีดที่ระยะเวลาต่าง ๆ

4.7 ผลเปรียบเทียบการกระจายตัวของสารเภสัชรังสีที่ผลิตขึ้นได้กับผลิตภัณฑ์จากต่างประเทศ

ผลเปรียบเทียบการกระจายตัวของ I-131 MIBG ในรูปของ %uptake/g ที่อวัยวะต่าง ๆ ภายหลังจากการฉีด 1 วัน ระหว่าง I-131 MIBG ที่ผลิตขึ้นได้ กับ I-131 MIBG ของ Australian Radioisotope (ARI) โดยทำการทดลอง 2 ครั้ง และใช้ I-131 MIBG ที่มีคุณสมบัติตามตารางที่ 2 ในหัวข้อ 3.6.2 ซึ่งผลที่ได้แสดงในตารางที่ 16 จะเห็นว่า ที่ต่อมหมวกไตมี %uptake/g สูงสุด และสูงกว่าอวัยวะใกล้เคียงมาก เมื่อเปรียบเทียบ %uptake/g ของแต่ละอวัยวะระหว่างตัวอย่างทั้ง 2 พบว่าส่วนใหญ่ I-131 MIBG ของ ARI ให้ %uptake/g สูงกว่า I-131 MIBG ที่ผลิตขึ้นเล็กน้อยทั้งนี้อาจเนื่องมาจาก I-131 MIBG ที่ผลิตขึ้นได้มีค่า Specific activity สูงกว่าของ ARI มากซึ่งหมายความว่าเนื้อตัวธา MIBG น้อยกว่า เมื่อเปรียบเทียบความแรงรังสีที่เท่ากัน จึงทำให้มีการสะสมที่ต่อมหมวกไตน้อยกว่า

ตารางที่ 16 ผลเปรียบเทียบการกระจายตัวของ I-131 MIBG ในหนู ภายหลังจากการฉีด 1 วัน ระหว่าง I-131 MIBG ของ ARI กับ I-131 MIBG ที่ผลิตขึ้นได้

อวัยวะ	% uptake/g [mean ± s.d.]			
	1		2	
	ARI	OAEP	ARI	OAEP
ต่อมไทรอยด์*	6.94 ± 1.39	4.75 ± 0.97	4.10 ± 1.02	2.89 ± 1.08
เลือด	0.08 ± 0.01	0.05 ± 0.01	0.08 ± 0.01	0.05 ± 0.01
หัวใจ	0.69 ± 0.11	0.42 ± 0.06	0.76 ± 0.10	0.23 ± 0.01
ปอด	0.47 ± 0.08	0.31 ± 0.05	0.44 ± 0.06	0.22 ± 0.06
ตับ	0.45 ± 0.07	0.34 ± 0.07	0.46 ± 0.05	0.21 ± 0.03
ต่อมหมวกไต	34.55 ± 3.27	28.93 ± 1.92	24.07 ± 3.53	18.54 ± 2.72
ไต	0.28 ± 0.04	0.56 ± 0.05	0.31 ± 0.02	0.16 ± 0.02
ม้าม	0.49 ± 0.08	0.28 ± 0.04	0.52 ± 0.15	0.17 ± 0.03
กระเพาะอาหาร	0.54 ± 0.19	0.41 ± 0.09	0.87 ± 0.10	0.37 ± 0.06
ลำไส้	0.60 ± 0.13	0.44 ± 0.11	0.84 ± 0.10	0.35 ± 0.07

ตารางที่ 16 (ต่อ)

	1		2	
	ARI	OAEP	ARI	OAEP
Specific activity (mCi/mg)	< 0.05	1.74	< 0.05	0.125
injected dose (μ Ci)	25	25	25	25
จำนวนสัตว์ทดลอง(ตัว)	5	6	6	6

* block การสะสม I-131 ของต่อมไทรอยด์

4.8 ผลการศึกษาอายุการใช้งานของสารเภสัชรังสี I-131 MIBG

จากการศึกษาอายุการใช้งานของสารเภสัชรังสี I-131 MIBG ของตัวอย่างต่าง ๆ ตามเงื่อนไขต่อไปนี้

ตัวอย่าง ก. I-131 MIBG ใน 0.9 % normal saline เก็บที่อุณหภูมิห้อง

ตัวอย่าง ข. I-131 MIBG ใน 0.9 % normal saline เก็บที่อุณหภูมิ 4°C

ตัวอย่าง ค. I-131 MIBG ใน 0.9 % normal saline + 1 % benzyl alcohol เก็บที่อุณหภูมิห้อง

ตัวอย่าง ง. I-131 MIBG ใน 0.9 % normal saline + 1 % benzyl alcohol เก็บที่อุณหภูมิ 4°C

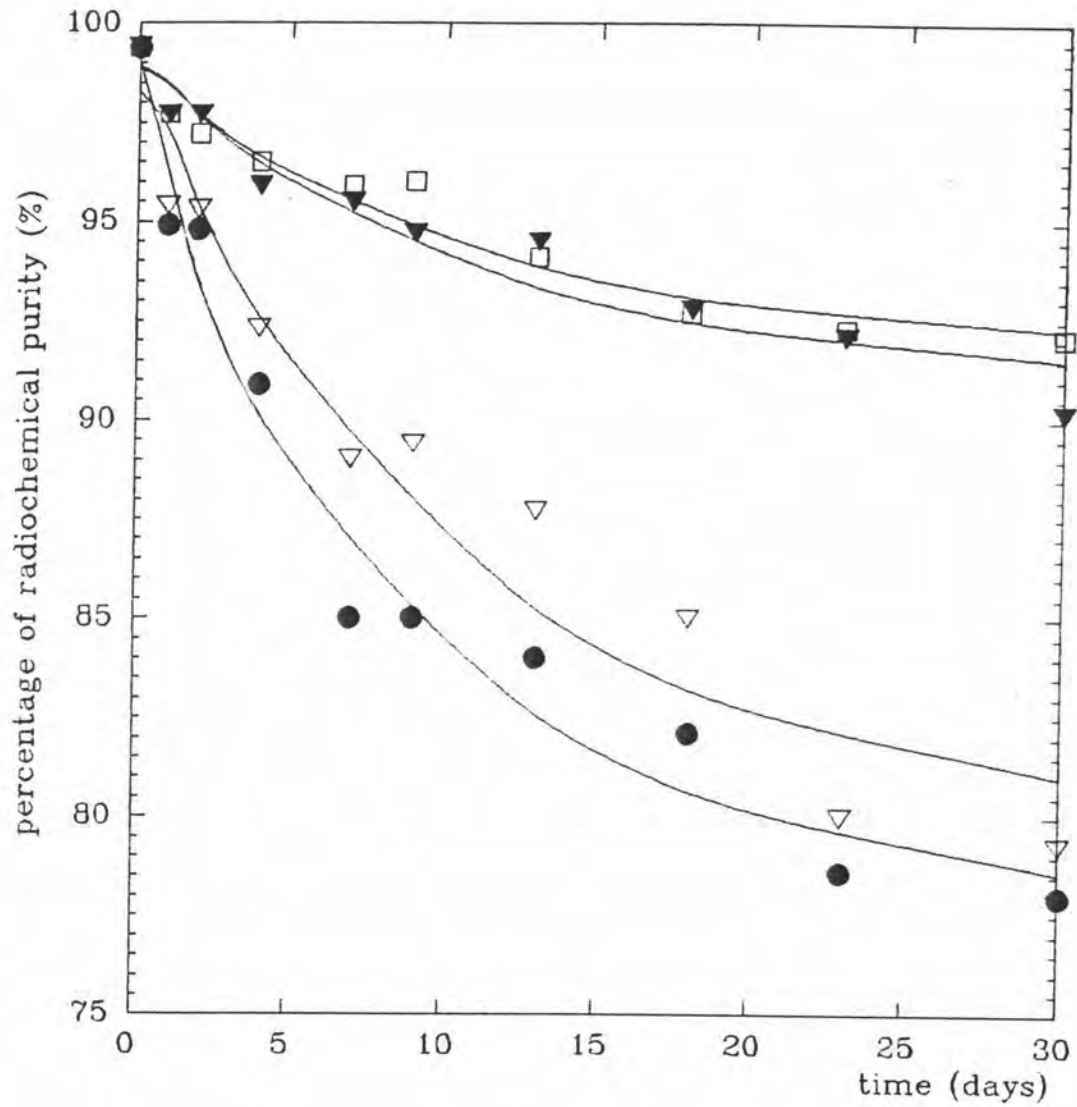
ผลที่ได้แสดงในตารางที่ 17 และรูปที่ 23 พบว่าตัวอย่าง ค และ ง ซึ่งเติมสาร preservative คือ เบนซิลแอลกอฮอล์ มีการลดลงของเปอร์เซ็นต์ความบริสุทธิ์ทางเคมีรังสี น้อยกว่าตัวอย่าง ก และ ข ซึ่งไม่ได้เติมเบนซิลแอลกอฮอล์ ส่วนตัวอย่าง ก กับ ข และ ค กับ ง ซึ่งเก็บที่อุณหภูมิต่างกัน มีการลดลงของเปอร์เซ็นต์ความบริสุทธิ์ทางเคมีรังสีไม่แตกต่างกันมากนัก และพบว่าตัวอย่าง ง คือ I-131 MIBG ใน 0.9 % normal saline + 1 % benzyl alcohol เก็บที่อุณหภูมิ 4°C มีอายุการใช้งานสูงสุด คือ 7 วัน

ตารางที่ 17 เสถียรภาพของ I-131 MIBG

เงื่อนไข ความเข้มข้นของ I-131 MIBG : 0.5 mCi/ml

specific activity : 2 mCi/mg

เวลา(วัน)	เปอร์เซ็นต์ความบริสุทธิ์ทางเคมีรังสี (%)			
	ก	ข	ค	ง
0	99.4	99.4	99.4	99.4
1	94.9	95.4	97.7	97.7
2	94.8	95.3	97.7	97.2
4	90.9	92.3	95.9	96.5
7	85.0	89.0	95.5	95.9
9	85.0	89.4	94.7	96.0
13	84.0	87.7	94.5	94.1
18	82.1	85.0	92.8	92.7
23	78.6	80.0	92.1	92.3
30	78.0	79.3	90.2	92.1



รูปที่ 23 เสถียรภาพของ I-131 MIBG

- ตัวอย่าง ก. I-131 MIBG เก็บที่อุณหภูมิห้อง
- ▽ ตัวอย่าง ข. I-131 MIBG เก็บที่อุณหภูมิ 4°C
- ▼ ตัวอย่าง ค. I-131 MIBG + 1% benzyl alcohol เก็บที่อุณหภูมิห้อง
- ตัวอย่าง ง. I-131 MIBG + 1% benzyl alcohol เก็บที่อุณหภูมิ 4°C